

고준위 방사성 액체폐기물로 부터 네ptium oxalate 침전에 관한 연구

김영환, 김응호, 정동용, 김원호, 유재형
한국 원자력 연구소

A study on Neptunium oxalate precipitation from the simulated radioactive liquid waste

Y.H. Kim, E.H. Kim, D.Y. Chung, W.H. Kim, J.H. Yoo
Korea Atomic Energy Research Institute

서 론

원자력 발전을 통해 발생하는 고준위 액체폐기물(HLLW)의 안전 처분 및 장수명 핵종과 같이 독성이 강한 핵종들의 소멸처리에 관한 연구가 현재 진행되고 있다. 장수명 핵종들로서 인공 악티나이드계(Transuranium, TRU) 원소들은 고준위 액체폐기물로 부터 분리되어야 하는 가장 중요한 핵종들이다. 최근에 HLLW로 부터 TRU로서 아메리슘(Am), 큐륨(Cm) 및 네ptium(Np)을 분리하는 화학공정들이 개발되고 있다. 이들중에 옥살산을 이용하여 HLLW로 부터 TRU 와 희토류 원소군들을 동시에 침전시키는 공정이 연구개발되고 있다. 본 연구는 이전 연구 [1]의 연장으로서 옥살산농도를 0.5M로 고정시킨 다음 이스코빅산과 질산농도가 모의용액내 Np과 Nd의 침전회수율과 제염율에 미치는 효과가 조사되었다.

고준위 액체폐기물내 금속이온들의 환원특성

아스코빅산(H_2A , 비타민-C)은 수용액중에서 금속이온들의 환원에 중요한 역할을 한다. 일반적으로 수용상에서 ascorbate 종들은 ascorbic acid(H_2A), ascorbate ion(HA^-) 그리고 dehydroascorbic acid(A)로 존재한다. 그리고 이들 종들의 금속이온에 대한 환원성은 용액의 pH에 강하게 의존하는데 ascorbic acid는 산성매질에서 환원성이 강한 것으로 알려져 있다. 그러므로 질산매질인 HLLW에 함유된 금속이온들은 ascorbic acid(H_2A)에 의해 환원이 될 것으로 기대될 수 있다. Table 1의 각 금속이온의 산화•환원력을 보면 Np, Fe, Pd, Ru, Mo 등이 ascorbic acid에 의해 환원될 것으로 기대될 수 있다. 한편 ascorbic acid와 ascorbate couple의 산화•환원 반응[2]은 $A + 2H^+ + 2e^- = H_2A$ (Redox couple), +0.4(Potential, V)와 같다. 그러므로 H_2A 와 환원 가능한 금속이온들 간의 환원반응은 Table 2와 같이 정리될 수 있다. 이 결과로 부터 ascorbic acid에 의한 금속이온들의 환원반응은 oxalate 침전에 영향을 줄 것으로 기대하며, 특히 Pd은 금속형태로 침전될 것으로 판단된다.

실험 및 방법

방사성 모의용액은 총 10개의 원소로 구성되어 있고 농도는 Table 1에 나타내었다. 실제 존재하는 원소수는 30여종이지만[3], 대부분은 미량으로 침전에 큰 영향을 주지 못하며 특히 Am은 이미 연구 완료 되었다[1]. 사용된 금속원소들은 전부 nitrate salt로서 시약급이다. Cs, Sr은 A.A, Fe, Ni, Nd, Zr, Mo, Ru, Pd은 ICP로, 그리고 Np 농도는 Liquid Scintillation counter에 의해 α -counting으로 측정되었다. 침전방법으로서 우선 비 방사성 모의용액의 침전의 경우 Np을 제외

한 9 성분 원소의 비방사성 모의용액이 제조 되었다. 침전실험은 상온에서 수행되었고 전체반응물부피는 20ml 였다. 침전이 종료된 후 침전율을 조사기 위해 침전여액이 분석되었다. 아스코빅산은 0.01-0.25M, 질산은 0.4M 그리고 옥살산은 0.5M 의 범위에서 수행되었다. Np-oxalate 침전실험에 있어 ascorbic 농도 와 질산 농도는 각각 0.01-0.25M 그리고 0.5-2M 범위이며 옥살산 농도는 0.5M로 고정시켰다. Np 침전실험시 사용된 원소수는 Np 을 포함하여 10 종이다. 반응중 Np activity 는 1×10^4 dpm 이다. 전체 반응부피는 1ml 이다. 침전반응 종결후 침전여액 중 Np 농도가 분석되었다.

결과 및 고찰

Fig 1은 9 성분으로 구성된 모의용액에 아스코빅산 첨가에 따른 각 원소들의 침전율을 질산농도 2M, 옥살산농도 0.5M에서 나타낸 것이다. 좌측의 결과는 아스코빅산을 첨가하지 않은 경우로서 Nd⁺³는 99%이상, Zr은 90%, Sr⁺²은 25% 정도 침전된다. Cs⁺, Fe⁺³, Ni⁺², Ru⁺⁴, Mo⁺⁶ 원소들은 침전이 거의 일어나지 않는 것으로 나타나고 있다. 그러나 아스코빅산 첨가후 옥살산 침전을 시키는 경우에는 아스코빅산 농도가 증가함에 따라 Pd의 침전율이 급격히 증가 하는것을 볼 수 있다. 이것은 앞에서 언급된 바와같이 용액중에서 Pd⁺² 이 아스코빅산에 의해 메탈로 환원된 결과로 판단된다. Zr⁺⁴의 경우 아스코빅산 농도 증가에 따라 큰 변화없이 거의 일정한 침전율을 나타내었다. 이것은 Zr⁺⁴이 옥살산에 의해서 침전이 일어날때 ascorbic acid 가 영향을 주지 않는 것으로 판단된다. Sr⁺²의 경우 아스코빅산 농도가 증가함에 따라 감소하는 것으로 나타났는데 감소 이유는 본 연구에서 규명되지 못했다. Nd⁺³의 경우 아스코빅산 첨가에 따라 다소 감소하다가 다시 증가하는 경향을 보여주고있다. 그러나 최소 95% 이상은 침전으로 회수될 수 있다. Fig 2는 ascorbic 농도 0.25M, oxalic acid 농도 0.5M에서 질산농도에 따른 각 원소들의 침전율을 나타내었다. Nd의 경우 질산농도 2M 이상에서 침전율이 급격히 감소되고 있다. 이는 질산농도가 증가함에 따라 옥살레이트의 용해도가 증가한 것으로 판단된다. 그러므로 질산농도 2M 이상은 바람직스럽지 못한 것으로 판단된다. Zr의 경우 질산농도에 관계없이 85%-90% 침전이 된다. 그러나 Pd의 경우 질산농도가 증가함에 따라 침전율이 급격히 감소했는데 이것은 앞서 언급된 바와같이 질산농도가 증가할수록 환원반응이 억제되는 것으로 부터 예측할 수 있다. 이상의 결과로 부터 Zr은 ascorbic 농도 와 질산농도에 관계없이 약 90% 의 침전율을 나타내고 있다. 그러므로 가능한 한 Zr은 옥살산 침전 이전 단계에서 제거되어야만 침전물의 순도를 높일 수 있을 것으로 판단된다. 그리고 Nd의 침전율을 최대로 하기 위해 질산농도를 2M 이하가 바람직하고 아스코빅산농도는 선택성이 있는 것으로 판단된다. Table 3에 옥살산 농도 0.5M, 질산농도 0.5-2M, 아스코빅산농도 0.01-0.25M 범위에서 Np 이 포함된 모의용액의 침전거동을 나타내었다. 모든 실험에서 사용된 ^{237}Np ($t_{1/2}=2.14 \times 10^6$ 년)의 activity 는 1×10^4 dpm 이다. 이 값은 Np 농도로 6.36 ppm에 해당된다. Table에서 보는 바와같이 Np 단독으로는 침전이 일어나지 않았다. 본 실험과 유사한 조건에서 Rankim 등 [4]은 Np의 용해도가 약 70 ppm이라고 보고하였다. 그러므로 이것은 Np 농도 6.36 ppm에서 침전이 일어나지 않는 우리의 실험결과를 만족시킨다. 그러나 0.04M Nd 과 이성분계를 이루게 되면 Np은 84% 이상 침전되며 여기에 원소수를 증가시키면 Np의 침전율은 더욱더 증가된다. 이것은 Np⁺⁴ 이 현재의 농도

범위에서 옥살산 용액으로 그자체는 침전이 일어나지 않지만, Nd⁺³ 과는 공침전함을 나타내고 있다. 그리고 Np 을 포함하여 10 개의 원소로 구성된 모의용액에서 옥살산농도는 0.5M 로 일정하게 하고 질산농도 와 ascorbic 농도를 변화시킨 결과를 Fig 3 에 나타내었다. 이와같은 현상은 Table 2 로 부터 쉽게 예측할 수 있다. 본 연구에서 얻어진 결과를 종합하면 옥살산농도 0.5M, 질산농도 2M, ascorbic 산농도 0.01M 일때 Np 과 Nd 의 회수율 과 정제도율이 최대인 것으로 나타났다.

결 론

10 개의 원소로 구성된 방사성모의폐액으로 부터 아스코빅산 과 질산농도가 Np 과 Nd 의 침전회수율 과 기타원소에 의한 정제도율에 미치는 영향은 1) 질산농도 2M 이상에서는 Nd 의 침전율이 급격히 낮아진다. 2) Np 은 Nd 과 공침전 하며, 모의용액 내 원소수가 증가할수록 Np 침전율은 거의 100% 침전된다. 3) Np 의 침전율은 질산농도가 낮은 경우 ascorbic 산농도에 영향을 받지만 질산농도 2M 에서는 ascorbic 산농도에 영향을 받지 않고 거의 100% 침전 회수할 수 있다.

참고문헌

- 1) E.H.Kim, et al., KJChE, 12(5), 557(1995).
- 2) C. Creutz, Inorg. Chemistry, 20(12), 4449(1981).
- 3) Kubota, M. and Fukase, T., J. Nuclear Sci and Tech., 17(10), 783(1980).
- 4) D.T. Rankim, et al., Am Ceramic Soc Bull., 56(5), 478(1977).

Table 1 Concentration and Redox system of main elements in the simulated solution.

Elements	Concentration, M	Oxidation-Reduction system	Standard potentials, V
Np	6.36ppm	$\text{NpO}_2^{+} + 4\text{H}^{+} + \text{e}^{-} = \text{Np}^{+4} + 2\text{H}_2\text{O}$	+0.74
Nd	0.04	$\text{Nd}^{+3} + 3\text{e}^{-} = \text{Nd(s)}$	-2.32
Fe	0.038	$\text{Fe}^{+3} + \text{e}^{-} = \text{Fe}^{+2}$	+0.77
Ni	0.006	$\text{Ni}^{+2} + 2\text{e}^{-} = \text{Ni(s)}$	-0.25
Mo	0.0069	$\text{MoO}_2^{+2} + 2\text{H}^{+} + \text{e}^{-} = \text{MoO}_3^{+}$	+0.48
Zr	0.00345	$\text{Zr}^{+4} + 4\text{e}^{-} = \text{Zr(s)}$	-1.39
Ru	0.0034	$\text{Ru}^{+4} + \text{e}^{-} = \text{Ru}^{+3}$	+0.91
Pd	0.018	$\text{Pd}^{+2} + \text{e}^{-} = \text{Pd(s)}$	+0.92
Cs	0.0371	$\text{Cs}^{+} + \text{e}^{-} = \text{Cs(s)}$	-2.92
Sr	0.0165	$\text{Sr}^{+2} + 2\text{e}^{-} = \text{Sr(s)}$	-2.89

Table 3 Results of oxalate precipitation of Np at $[\text{H}_2\text{C}_2\text{O}_4] = 0.5\text{M}$.

Elements	Ascorbic acid, (M)	Nitric acid, (M)	Precipitated % of Np
Np	0.25	0.5	0
Np+Nd	0.25	0.5	88.3
Np+simulated sol'n	0.25	0.5	98.3

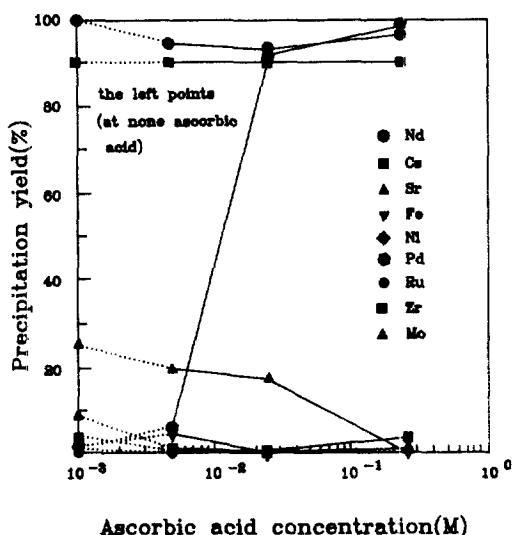


Fig. 1 Effect of ascorbic acid concentration on the oxalate precipitation at $[HNO_3] = 2M$ and $[H_2C_2O_4] = 0.5M$.

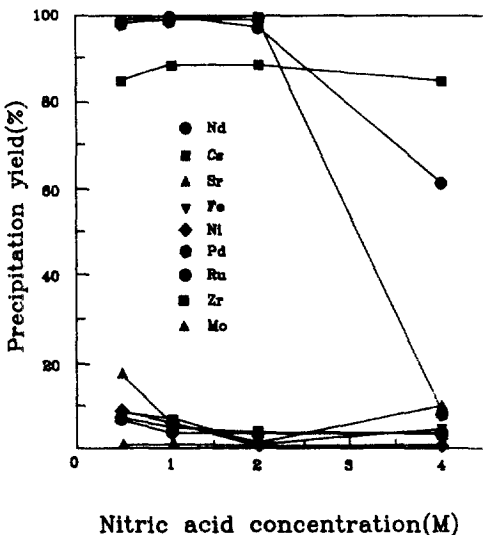


Fig. 2 Effect on nitric acid concentration on the oxalate precipitation at $[H_2C_2O_4] = 0.5M$ and $[CsH_4O_6] = 0.25M$.

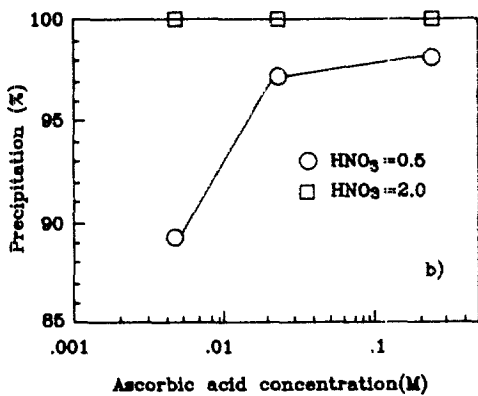


Fig. 3 Effect of nitric acid and ascorbic acid concentration on the oxalate coprecipitation of Np in the simulated solution.

Table 2 Reduction potentials of each elements by ascorbic acid.

Reduction chemical reaction	Values of potential, V
$2NpO_2^{+} + 6H^{+} + H_2A \rightleftharpoons 2Np^{+4} + A + 4H_2O$	+0.37
$2Fe^{+3} + H_2A \rightleftharpoons 2Fe^{+2} + A + 2H^{+}$	+0.371
$Pd^{+2} + H_2A \rightleftharpoons Pd + A + 2H^{+}$	+0.515
$2Ru^{+4} + H_2A \rightleftharpoons 2Ru^{+3} + A + 2H^{+}$	+0.508
$2MoO_2^{+2} + 2H^{+} + H_2A \rightleftharpoons 2MoO_3^{+3} + A$	+0.08